

FOTO AD-9501: Dique de granito de Almeida que intruye sobre el granito de Villamor de Cadozos.

FOTO AD-9502: Detalle de la foto anterior.

FOTO AD-9503: Aspecto de campo de las vaugneritas, al S de Fresno de Sayago.

FOTO AD-9504: Aspecto que muestran las rocas básicas-intermedias, en la parte inferior derecha se observa un agregado de anfíbol. Muestra AD-9078; LN.; (x4).

FOTO AD-9505: Idem anterior. Muestra AD-9078; NC.; (x4).

FOTO AD-9506: Textura de recristalización en cuarzo. Se observa como el cuarzo presenta formas poligonales con puntos triples de unión.

FOTO AD-9507: Textura mirmequítica desarrollada en una albíta blástica.

FOTO AD-9508: Plagioclasa con inclusiones de gotas de cuarzo (Q II). Muestra AD-9024; NC.; (x4).

FOTO AD-9509: Cuarzo drop like (Q II), se encuentra en el borde de un fenocristal de FK. Muestra AD-9025; NC.; (x4).

FOTO AD-9510: Pertita tipo "film", característica del feldespato potásico perteneciente a las rocas básicas-intermedias. Muestra AD-

FOTO AD-9511: Plagioclasa rica en inclusiones de pequeñas biotitas. Muestra AD-9078; NC.; (x4).

FOTO AD-9512: Albíta blástica mirmequítica desarrollada en el contacto entre feldespato potásico-plagioclasa. Muestra AD-

FOTO AD-9513: Biotitas con pleocroismo en tonos verdosos, rica en inclusiones de apatitos con hábito prismático corto. Muestra AD-9055; LN.; (x4).

FOTO AD-9514: Agregado de anfíbol rodeado parcialmente por biotita. Muestra AD-9055; LN.; (x4).

FOTO AD-9515: Allanita zonada, desarrolla halo pleocróico sobre las biotitas con las que está en contacto. Muestra AD-9027; LN.; (x10).

FOTO AD-9516: Idem anterior, se observa como la allanita está zonada. Muestra AD-9027; NC.; (x10).

FOTO AD-9517: Allanita con orla que puede estar formada por minerales del grupo de la epidota. Muestra AD-9055; NC.; (x4).

FOTO AD-9518: Cristal de esfena pleocróica. Muestra AD-9055; LN.; (x10).

FOTO AD-9519: Cristal de esfena pleocróica. Muestra AD-9055; NC.; (x10).

FOTO AD-9520: Clinozoisita como producto de alteración de plagioclasa. Muestra AD-9055; NC.; (x4).

FOTO AD-9521: Cerro de Peñausende, está formado por granito silicificado, en la base del cerro hay granito fresco.

FOTO AD-9522: Aspecto macroscópico del granito de grano medio-fino a medio, dos micas, "ala de mosca".

FOTO AD-9523: Aspecto macroscópico del granito de grano medio-fino a medio, dos micas, "ala de mosca".

FOTO AD-9524: Aspecto macroscópico del granito de grano medio-fino a medio, dos micas, "ala de mosca".

FOTO AD-9525: Dique del granito de Almeida que intruye en el granito de grano medio-grueso a grueso, dos micas, porfídico, este último granito presenta cierta textura "ala de mosca".

FOTO AD-9526: Dique del granito de Almeida que intruye en el granito de grano medio-grueso a grueso, dos micas, porfídico, este último granito presenta cierta textura "ala de mosca".

FOTO AD-9527: Aspecto de como aflora el granito de grano medio-grueso a grueso, dos micas, porfídico, da lugar a la formación de berrocales.

FOTO AD-9528: Aspecto macroscópico del granito de Almeida.

FOTO AD-9529: Aspecto del granito de Almeida, donde se puede observar fenocristales de FK que están poco definidos.

FOTO AD-9530: Diaclasado con dirección N 10°E/ 65°E, se puede observar en los alrededores de dicha localidad.



AD -  
9501

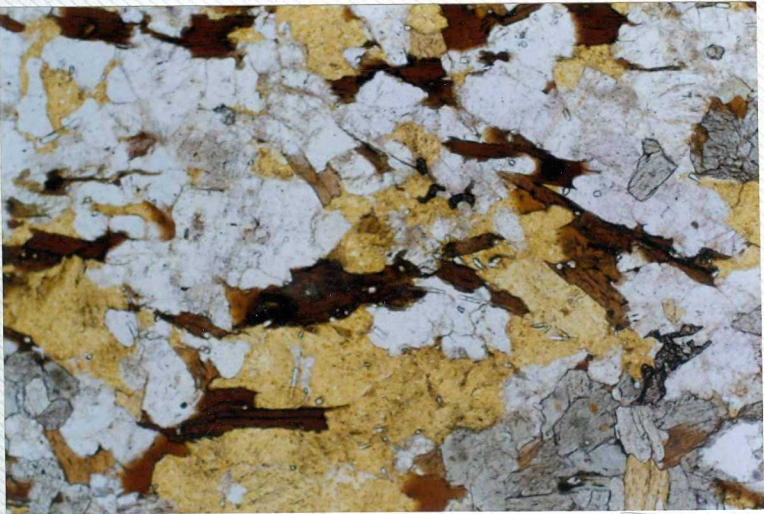


AD -



AD-

9503



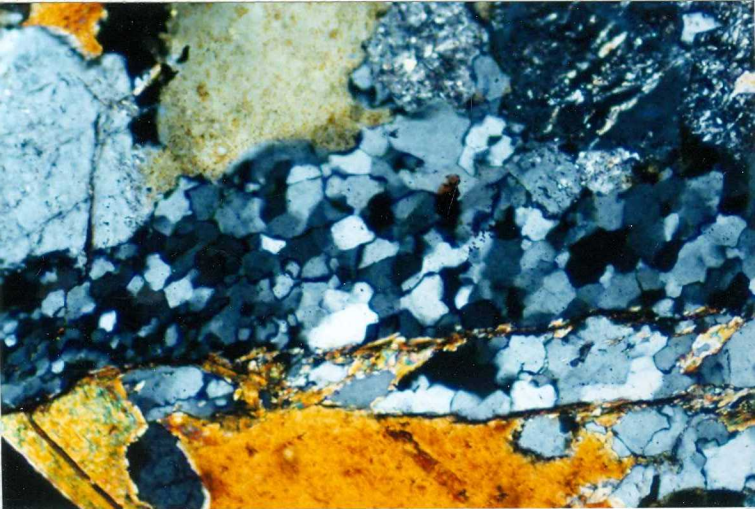
AD-

9504



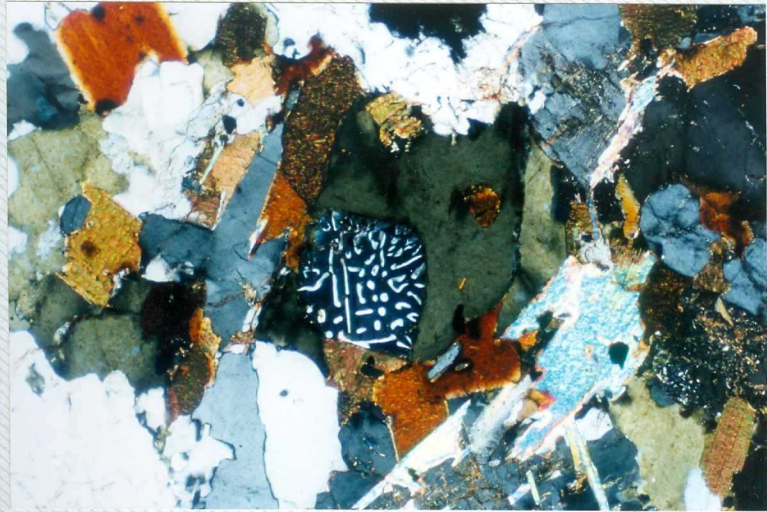
AD-

9505



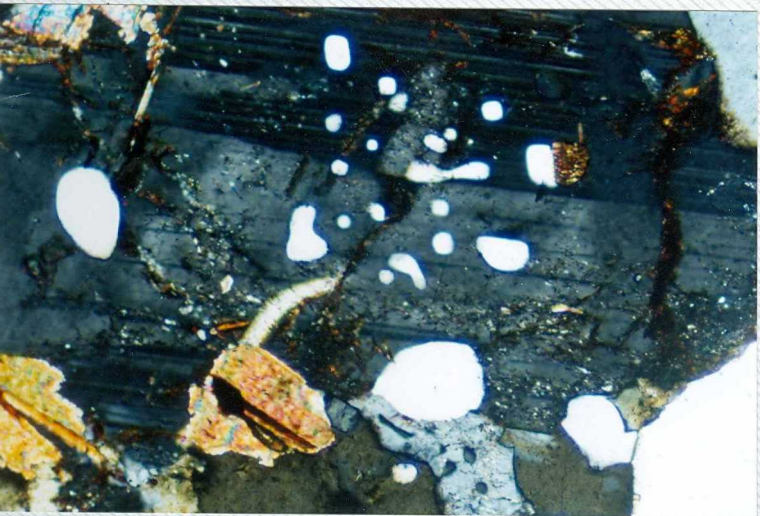
AD -

9506

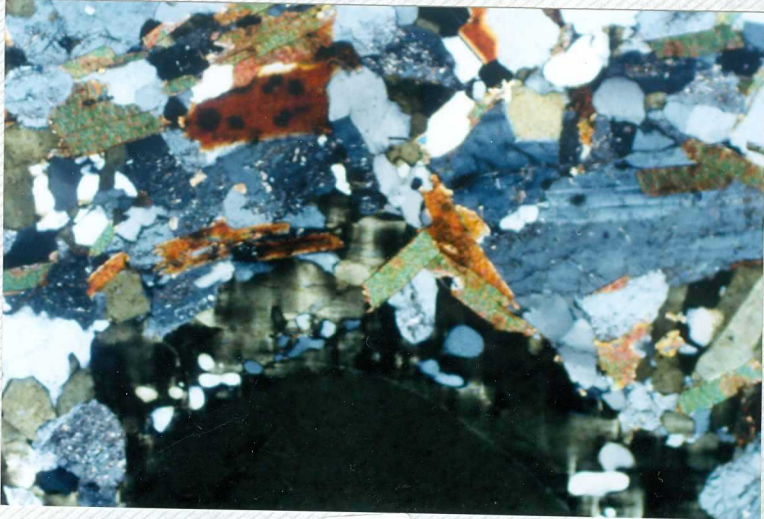


DD -

9507

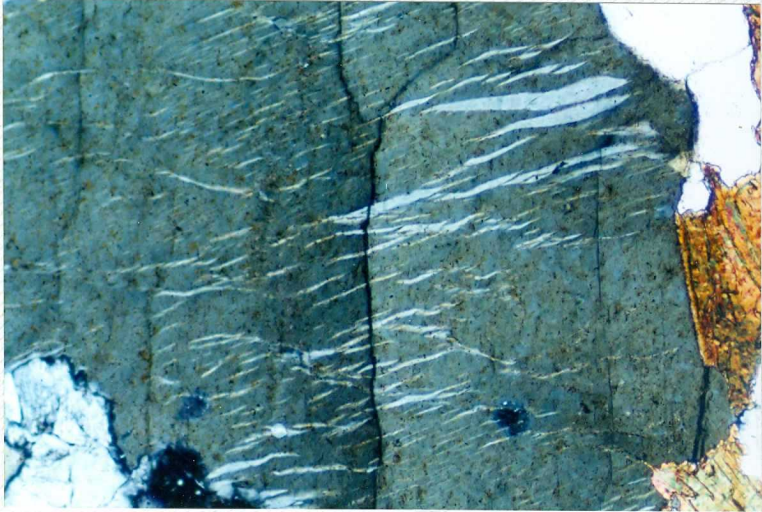


AD -  
9508



AD-

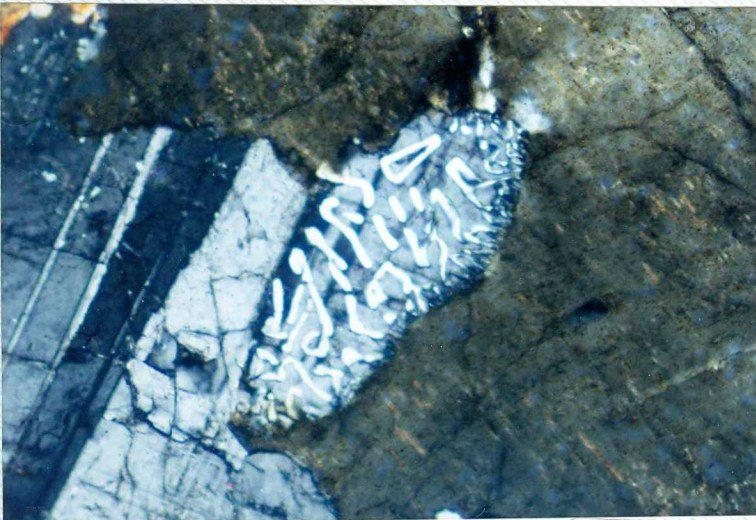
9509



Ad -  
9510

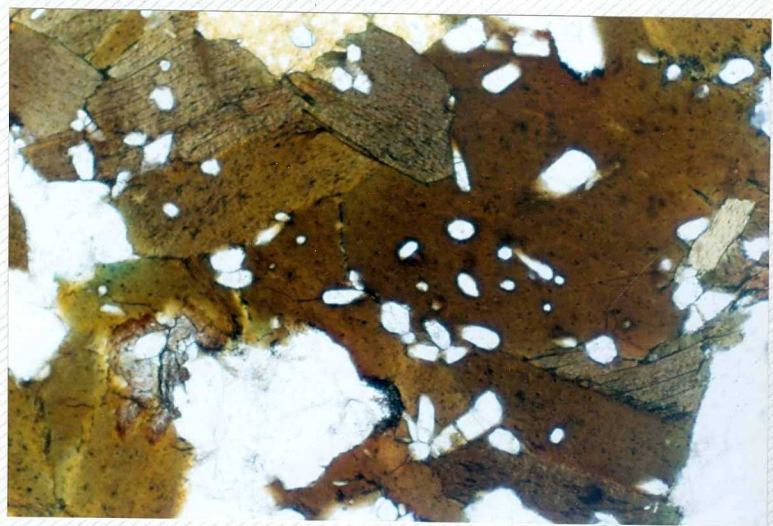


AD-  
9511

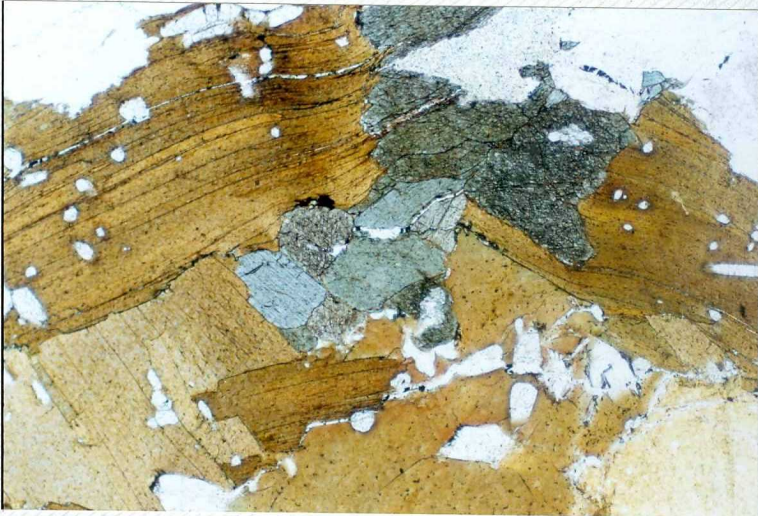


AD-

9512



AD-  
9513

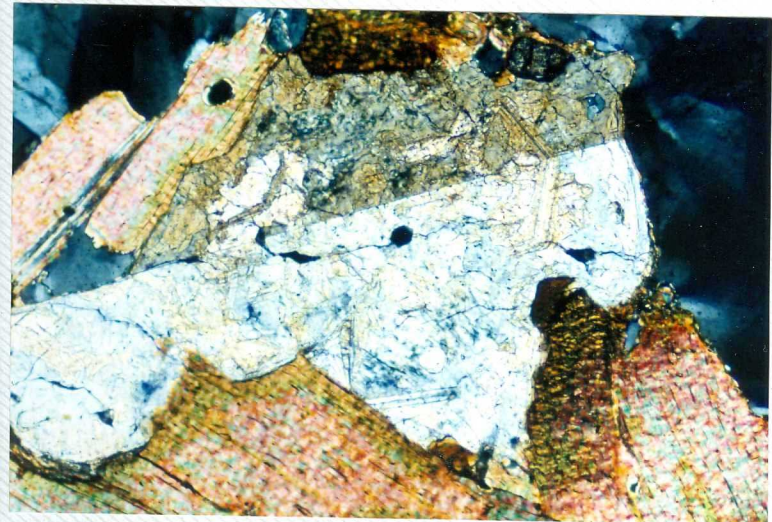


80 -  
9514

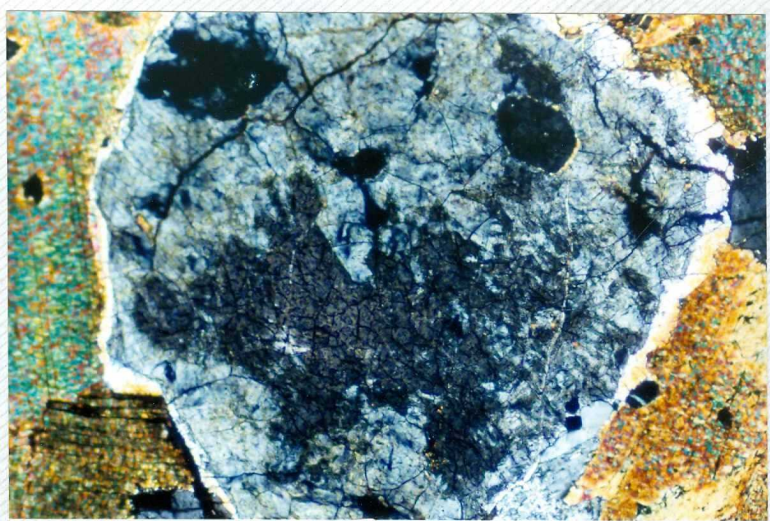


AD-

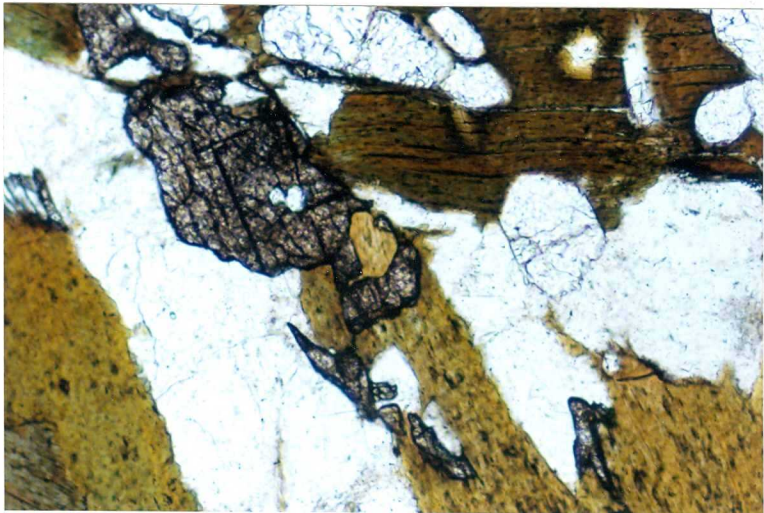
9515



AD-  
9516

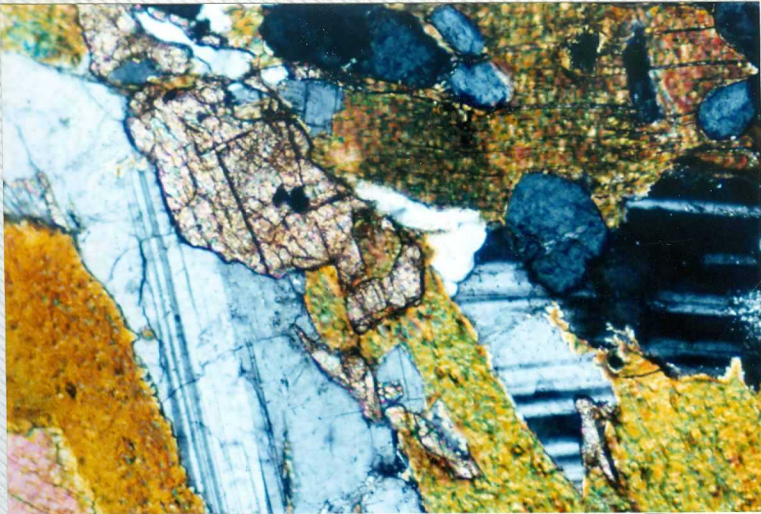


A2-  
9517



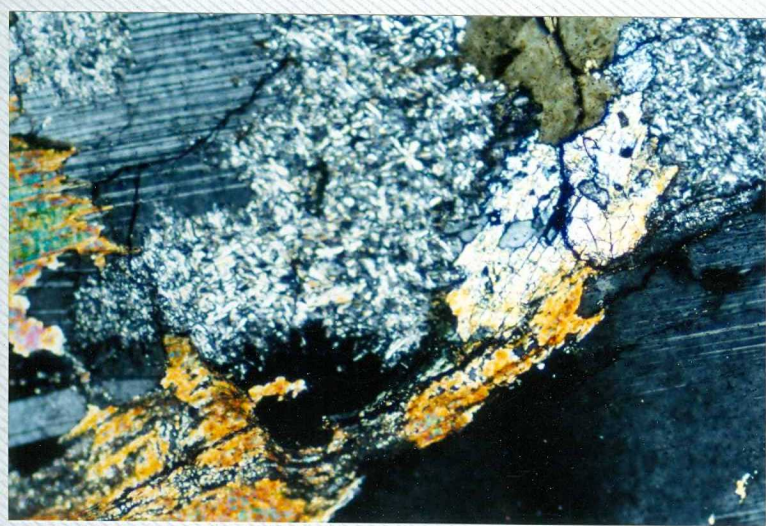
Ad-

9518



A0-

9519



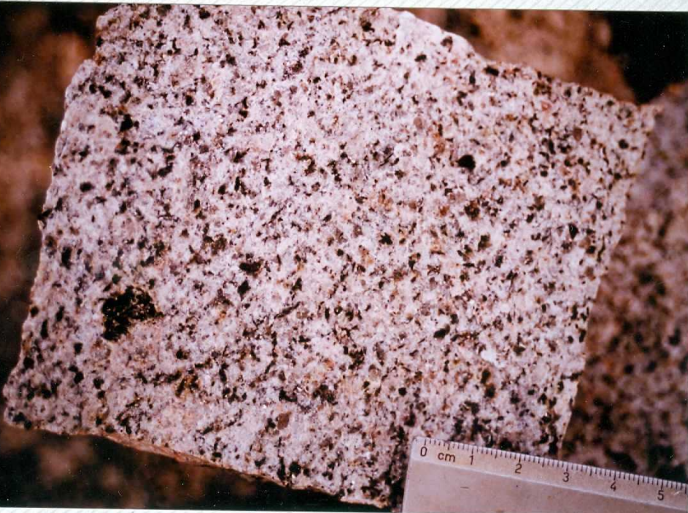
A 2 -

9520



40 -

9521

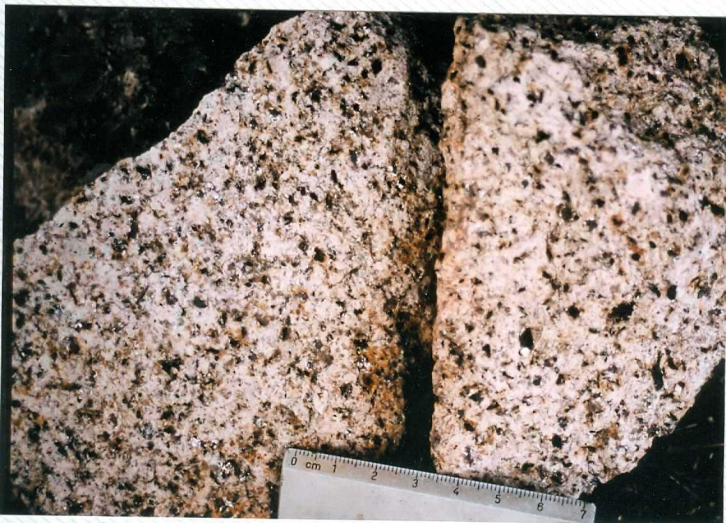


A0-  
9522

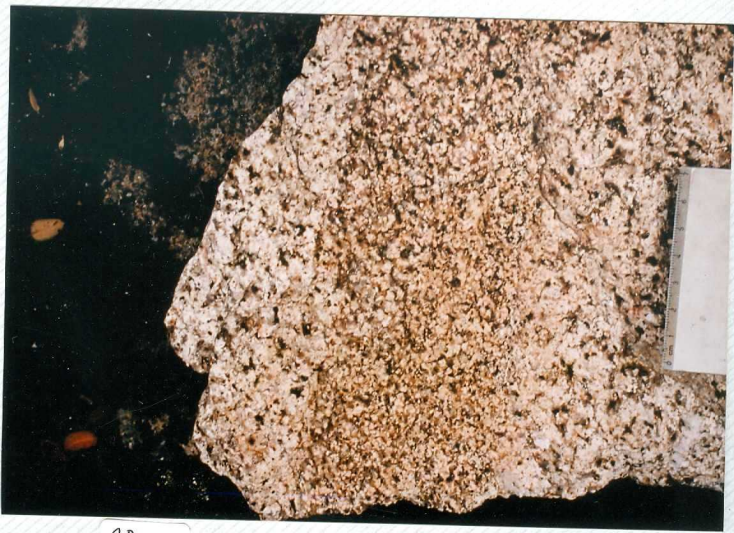


40-

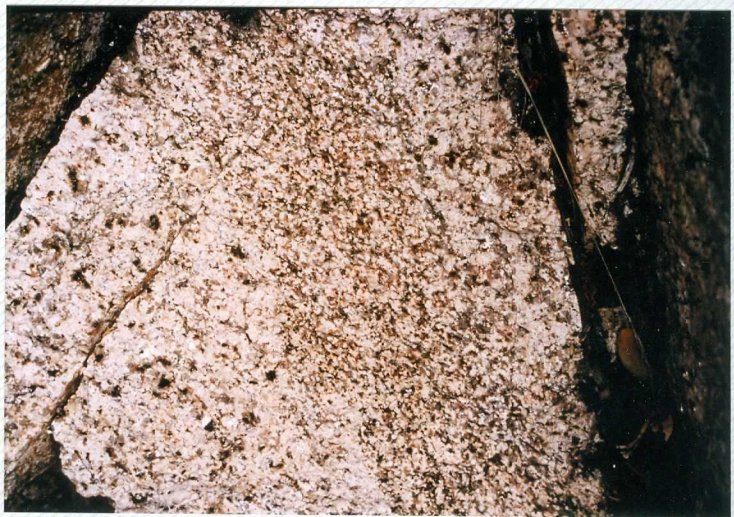
9523



Ad-  
9524



40-  
9525



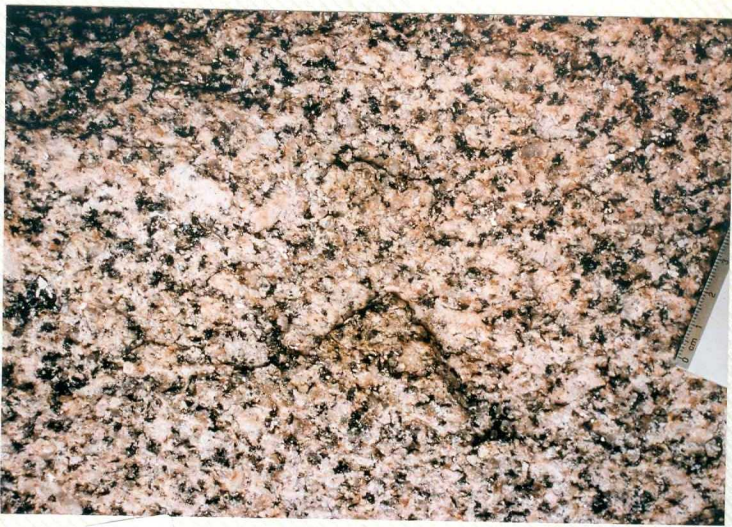
AD-  
9526



A0-  
9527

0 1 2 3 4 5 cm

AD -  
9528



AD-  
9529



9530